

ПАХТА ТАРКИБИДАГИ ИФЛОСЛИКЛАРНИ ТОЗАЛАШ УСКУНАЛАРИНИНГ САМАРАДОРЛИГИНИ ХИСОБЛАШ

Н.М. Орипов

Фаргона политехника институти таянч докторанти

E-mail: oripovnadirbek92@gmail.com

Аннотация. Маълумки, қайта ишланаётган материални таркибида толада «юмшоқ» нуқсонларнинг (ифлослик, чигитга ёпишган тола, гажаклик ва тугунаклар) ундан ташқари чигитнинг шикастланиши тозалаш жараёнининг самарадорлигини ва толали маҳсулот сифат кўрсаткичларига таъсир қиласди. Ушбу мақолада паҳтани ифлосликлардан тозалаш машинасини тозалаш самарадорлиги назарий тахлил қилинган.

Калит сўзлар: чигит, тола, ифлослик, таминлагич, сифат, тўрли юза, момик, барабан, кучланиш, самарадорлик, нуқсон.

Кириш. Республикаизда бир йилда етиштириладиган паҳтанинг хажми ўртача 3,0-3,2 млн. тоннани ташкил этади. Бу хажмдаги паҳтани қабул қилиш, сақлаш ва қайта ишлаш билан боғлиқ бўлган барча ишлар мажмуасини ташкил қилиш, мувофиқлаштириш, соҳада ягона илмий-техник сиёсатни амалга ошириш, маҳсулот ишлаб чикириш ва истеъмолчиларга етказиб бериш ўзига хос технологик занжирни ташкил этади. Бу технологик занжир ҳар бир жиҳознинг иш унуми ва ундан олдинги машиналарнинг иш сифатига чамбарчас боғлиқдир. Мана шу масалани инобатга олган ҳолда паҳтанинг сифат кўрсаткичларига технологик занжир жиҳозлари таъсири катта деган ҳуносага келиш мумкин. Толани чигитдан ажратиш жараёнидаги тола ва чигитда жинлаш нуқсонлари хосил бўлади. Жинланган тола таркибида: улюқ, пишмаган тола, синган тола, тола бўлакчалари, толали чигит пўстлоғи, эшилган ва тугинчали толалар бўлиши сабабли, толанинг ифлослик бўйича сифат кўрсаткичларини яхшилаш учун толани тозалаш лозимдир. Бу нуқсонлар толанинг сифат кўрсаткичларини пасайтиради, йигирив саноатида катта муаммоларга олиб келади. Шунинг учун толани пресслашдан олдин тозалаш муҳим аҳамиятга эга [1,2].

Пахта тозалаш корхоналаридаги технологик жараёнга ўрнатилган жиҳозлар самарадорлигини оширишга, уларнинг узлуксиз ишлашига пахтанинг таркиби сезиларли таъсир кўрсатади. Пахта таркибидаги оғир аралашмалар уни қайта ишлаш вақтида тозаловчи машиналарни ишчи қисмиларининг ҳамда жин ва линтерларнинг арралари тишларининг шикастланишига сабаб бўлади. Бундай ўзгариш жин машинасида чигитдан толани ажратиб олиш пайтида чигит ва толаларнинг шикастланишига олиб келади [3-7].

Хозирги даврда пахта тозалаш корхоналарида қутишиш ва тозалаш бўлимларида “Оқим йўналиши” ускуналар комплексларидан фойдаланилиб, чигитли пахтани ифлос аралашмалардан тозалашда бирдан-бир қулай ва замонавий технология бўлиб ҳисобланади. Ҳақиқатда ҳам “оқим йўналиши” ускуналар комплекси “УХК” русумли бир-нечта секциялардан иборат бўлиб, ёрдамчи воситалар: хом ашёни ташиш, узатиш ва йиғишириш, транспортларидан фойдаланиш мутлоқо бекор этилади. Шу сабабли чигитли пахтанинг физикавий-технологик хусусиятларига салбий таъсир этувчи қучлар турларини камайтиради. Бу ўз навбатида пахта тозалаш корхонасининг асосий маҳсулоти бўлиб ҳисобланадиган тола сифатини сақлашга ва чигитнинг жароҳатланиши ёки эзилишини пасайтиришга имкон яратади. УХК-агрегат секциялари уч хил бўлиши мумкин: УХК.01-бошланғич секцияси, УХК.02-ўрта секцияси, УХК.03-охирги секция [8-11].

Буларнинг бир-биридан фарқи: УХК.01-секциясида таъминловчи валиклар ўрнатилган бўлса, УХК.03-секциясида тозаланган пахта машинадан чиқадиган жойига ёпиқ нов ўрнатилган. УХК.02 секцияси-икки тарафидан кўшимча секциялар улашга мослаштирилган бўлиб, шу ўрта секция ҳисобига, агрегатдаги секциялар сонини кўпайтириш ёки камайтириш мумкин. Қийин тозаланадиган пахтанинг селекцион навларини тозалашда, агрегатдаги секциялар сони 6-7 гача кўпайтирилади. Масалан: КОГТ-комплекси шу қийин тозаланадиган пахта навлари учун ишлатилмоқда [12-15].

Калинлиги $h(m)$ га ва бир бирлик узунликдаги массаси (погон) $m(kg/m)$ тенг бўлган говак мухит радиуси $R(m)$, узунлиги $L(m)$ доиравий цилиндр ичida урнатилган $BC = \alpha R$ (α (рад) - ёй бурчаги) турли ёй буйлаб бир хил ўзгармас $v_0(m/c)$ тезлик билан харакатланади (2-расм). Тўрли юзанинг очик юзаси $S(m^2)$

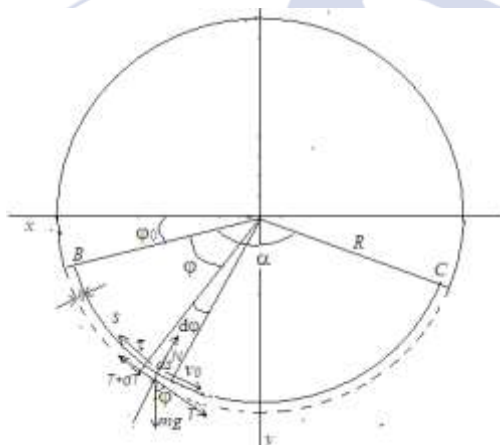


нинг унинг тула ёпик бўлган холдаги юзаси $S_0(m^2)$ нисбати $S/S_0 = n$ га teng. Мухит деформацияси ε билан билан таранглик $T(H)$ орасида боғланиш маълум:

$$\varepsilon = \frac{T}{EF} \quad (1)$$

Бу ерда E мухит учун юнг модули, $F = hL$ - катламнинг кесим юзаси. Мухит билан ёпик холдаги ей сирти орасидаги ишқаланиш коэффициенти f_0 га тенг. Сиртнинг фойдаланиш коэффициенти $S/S_0 = n$ эътиборга, тўрли сирт билан хомашё орасидаги ишқаланиш коэффициентини қуидаги формула ёрдамида хисоблаймиз

$$f = f_0(1-n)$$



1-расм. Мухитнинг *BC* ёй бўйича харакати схемаси

$h \ll R$ шартини қабул килиб, мухитдаги контакт ёйи бўйича хосил бўлган таранглик $T(H)$ ва нормал $N(H)$ кучларнинг таксимланиш конуниятларини математик моделлаштриш асосида аниклаймиз. $v_0 = Q_0 / m$, ($Q_0 = 8000 \text{ кг} / \text{соят}$ мухит оқимиининг сарфи ёки машина иш унумдорлиги), $f_0 = 0.3$, $h = 0.02 \text{ м}$, $R = 0.15 \text{ м}$, $L = 1 \text{ м}$, $\alpha = 2\pi/3$ бўлганда таранглик ва нормал кучларнинг ёй бўйича ўзгаришини, хамда турли юзадан ажралиб кетадиган ифлосликларнинг нисбий микдорини (процентда) бошланғич зичлик ρ_0 в фойдаланиш коэффициенти n ларнинг хар хил қийматларида хисоблаймиз.

$h \ll R$ шартидан фойдаланиб мухитни юпқа ва эни бўйича бир хил деформацияланадиган қатлам деб, ундан узунлиги бир бирликка тенг бўлган тасма ажратамиз ва уни техникавий объект (ТО) сифатида қараймиз. Бу объект 9 та кирувчи параметрлар билан ифодаланиб, улардан 7 таси улчовли $-h(m)$, $L(m)$, $R(m)$, $S(m^2)$, $S_0(m^2)$, $m(kg/m)$, $v_0(m/c)$ ва 2 таси улчовсиз $-\alpha(rad)$, f_0 физик катталиклар хисобланади. Объект 2 та чикувчи параметр: таранглик ва нормал $N(H)$ кучлар билан ифодаланади. Агар $T > 0$ бу кучни иплар нзариясига кура таранглик кучи деб қабул киламиз. Иплар назариясида $T < 0$ бўла олмайди, чунки ип факат чузилишга каршилик курсатади. Пахта массаси эса, кисман чузилишга каршилик курсатиши мумкин. Агар $T > 0$ булса, пахта массасининг хажми кенгайиб, унинг ғоваклиги ошади, натижада хомашё таркибидан ифлосликлар заррачаларанинг ажralиб кетиши интенсивлашади. Агар $T < 0$ булса ички куч таъсирида пахта массасининг хажми камаяди, натижада заррачанинг массадан ажralиб кетиш имконияти камаяди. Шуларни эътиборга олиб, контакт ёйи бўйича тасмадаги (лентадаги) ички куч $T(H)$ ва сирт томонидан унга таъсир этаётган бир бирлик узунликдаги уринма $\tau(H/m)$ ва нормал куч $q(H/m)$ ларнинг таксимланиш қонунларини аниклаймиз. Одатда улар мос равища нормал ва уринма кучлар интенсивлиги деб айтилади. Агар нормал куч манфий q манфий булса, у холда лента билан цилинд сирти орасидаги контакт бузилади, лента икки улчовли харакатда бўлади.

Кординат бошини цилиндрнинг марказида ўрнаштириб 0_x уқини унгдан чапга (0_y) ўқини юқоридан пастга йуналтирамиз (3–расм). 0_x уқи билан радиус орасидаги бурчакни φ белгилаймиз. $\varphi = \varphi_0$ контакт ёининг бошланиш бурчаги булиб, ундан сиртга узлуксиз равища сарфи Q_0 ўзгармас бўлган махсулот юборилади. Контакт ёйининг тугаш бурчаги $\varphi = \varphi_1 = \varphi_0 + \alpha$ да махсулотга ташки куч таъсир этмайди, шунинг учун ёйинг бу нуктасида таранглик $T = 0$ шарти бажарилиш керак. Юкорида қабул қилинган модел асосида мухитдан ажратилган қалинлиги h , узунлиги $ds = Rd\varphi$ элемент учун мувозанат тенгламаларини тузишда [1] ишдан фойдаланамиз. Элементга

таъсир этаётган кучларининг уринма ва нормал йуналишлардаги йигиндисини нолга тенглаштирамиз

$$T + dT - T - \tau R d\varphi + mgR \cos \varphi d\varphi = 0$$

$$dN + qR d\varphi - mv_0^2 d\varphi - mgR \sin \varphi d\varphi = 0$$

$$dN = T \sin \frac{d\varphi}{2} + (T + dT) \sin \frac{d\varphi}{2} = 2T \sin \frac{d\varphi}{2} = T d\varphi$$

Бу тенгликларни қуидаги тенгламалар қўринишига келтирамиз

$$\frac{dT}{d\varphi} - R\tau = -mgR \cos \varphi \quad (2)$$

$$T + Rq = mv_0^2 + mgR \sin \varphi \quad (3)$$

бу ерда τ , q кучлар, танланган харакатдаги қатлам модели учун улар орасида Кулон конуни уринли бўлади, яъни

$$\tau = fq \quad (4)$$

(4) тенгликни эътиборга олиб, (2) ва (3) дан таранглик $T(H)$ га нисбатан қуидаги тенгламани оламиз

$$\frac{dT}{d\varphi} + fT = mgR(f \sin \varphi - \cos \varphi) + fmv_0^2 \quad (5)$$

(5) тенгламани $T(\varphi_1) = 0$ шартида интеграллаб, таранглик $T(\varphi)$ топамиз.

(5) тенгламанинг ечимини қуидаги қуринишда оламиз

$$T = C_0 \exp[-f(\varphi - \varphi_0)] + mgR(A \sin \varphi + B \cos \varphi) + mv_0^2 \quad (6)$$

(5) ифодани (4) қуиб, топамиз_

$$A \cos \varphi - B \sin \varphi - f(A \sin \varphi + B \cos \varphi) = -f \sin \varphi + \cos \varphi$$

$\sin \varphi$ ва $\cos \varphi$ функциялар коэффициентларини тенгликнинг унг ва чап томонларида тенглаштирамиз

$$A + fB = 1$$

$$fA - B = -f$$

Бу системада аниклаймиз

$$A = (1 - f^2)/(1 + f^2), \quad B = 2f/(1 + f^2)$$

(4) тенгламанинг умумий ечими

$$T = C_0 \exp[-f(\varphi - \varphi_1)] + mgRF(\varphi) - mv_0^2$$

$$F = \frac{1}{1 + f^2} [(1 - f^2) \sin \varphi + 2f \cos \varphi]$$

Бу ерда

Ўзгармас коэффициент C_0 ни $T(\varphi_1) = 0$

шартидан аниклаймиз $C_0 = mgRF(\varphi_0 + \alpha) - mv_0^2$

Шундай қилиб таранглик учун қуидаги ифодани оламиз

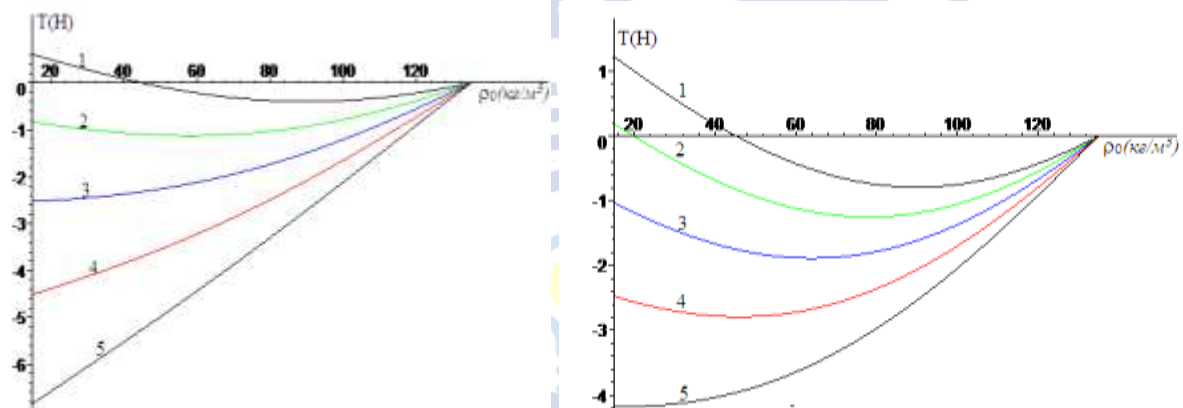
$$T = -mv_0^2 \{1 - \exp[-f(\varphi - \varphi_1)]\} + mgR\{F(\varphi) - F(\varphi_1)\exp[-f(\varphi - \varphi_1)]\} \quad (7)$$

Нормал куч интесивлиги (3) тенгламадан аникланади

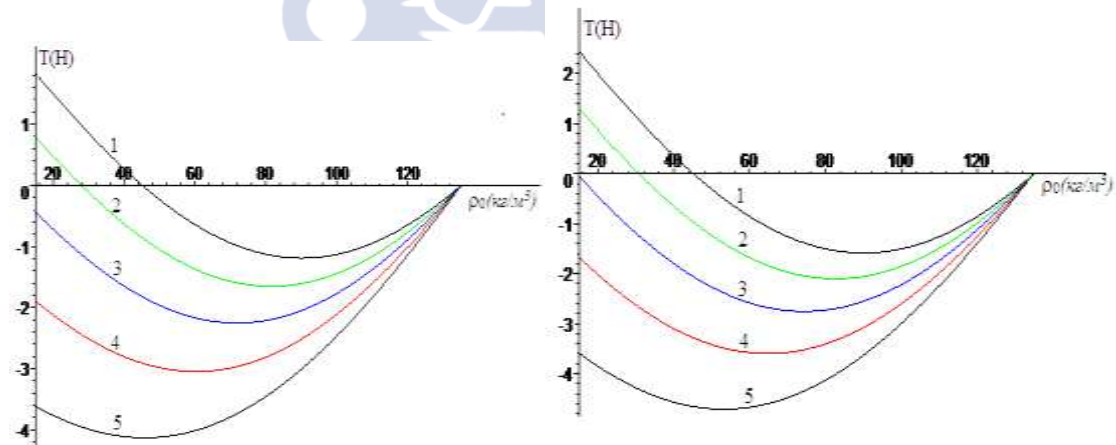
$$q = mv_0^2 / R + mg \cos \varphi - T / R$$

Хисоб натижалари асосида олиган графиклар 5 – расмда келтирилган.

$$\rho_0 = 20 \text{ кг/м}^3 \quad \rho_0 = 40 \text{ кг/м}^3$$



$$\rho_0 = 60 \text{ кг/м}^3 \quad \rho_0 = 80 \text{ кг/м}^3$$



2-расм. таранглик кучи $T(H)$ контакт ёи бўйича хомашёнинг бошланғич зичлиги $\rho_0(\text{кг/м}^3)$ ва коэффициент n нинг хар қийматларидағи контакт

ёйи бўйича ўзгариш графиклари: $1-n = 0$, $2-n = 0.25$, $3-n = 0.5$, $4-n = 0.75$,
 $5-n = 1$

$$\rho_0 = 20 \text{ кг/м}^3 \quad \rho_0 = 40 \text{ кг/м}^3$$

Нормал куч интенсивлиги $q(H/m)$ контакт ёйи бўйича хомашёнинг бошланғич зичлиги $\rho_0(\text{кг/м}^3)$ ва коэффициент n нинг хар хил қийматларида контакт ёйи бўйича ўзгариш графиклари: $1-n = 0$, $2-n = 0.25$, $3-n = 0.5$, $4-n = 0.75$, $5-n = 1$. Контакт ёйида сирт билан мухит ўртасида нормал куч интенсивлигиниг хар хил параметрларда ёйи бўйича ўзгариш графиклари 2 -расмда қўрсатилган. Тараплик кучи учун олинган натижалардан фойдаланиб, хом ашё таркибидан ифлосликларни ажратиш жараенинг моделини кўриб чикамиз. Фараз килайлик хомашё массасининг бошланғич зичлиги ρ_0 маълум, тозалаш зонасида деформацияланиши натижасида унинг зичлиги ихтиёрий бурчақда $\rho(\varphi)$ тенг бўлсин. Агар дефорацияланмаган мухитдан ds_0 олинган булса унинг массаси $m_0 = \rho_0 F_0 ds_0$, деформациядан кейин бу масса $m = \rho F_0 ds$ га тенг бўлади.

Массасининг сакланиш конуни $m = m_0$ дан $ds = \frac{\rho_0}{\rho} ds_0$ тенглик келиб чикади. Агар

ударга мос хажмлар $V_0 = m_0 / \rho_0$, $V = m / \rho$ да фойдалансак $ds = \frac{V}{V_0} ds_0$ тенглик оламиз $V_0 = l_0 h L$, $V = l h L$ (l_0 , l - лентанинг деформациядан олдин ва ундан

$ds = \frac{l}{l_0} ds_0$ кейинги узунликлари) ифодаларни эътиборга олиб. Агар ε лентанинг деформацияси бўлса, у холда $l = (1 + \varepsilon)l_0$ тенглик уринли бўлади. Шундай килиб $ds = (1 + \varepsilon)ds_0 = (1 + kT)ds_0$ ($k = 1/ES_0$) (8)

ифодани оламиз

Лента массаси $m = \rho F_0$ нинг ифлосликлар ажралиши натижасида ўзгаришини А.Г.Севостьянов модели асосида караймиз, у холда (λ - тажриба асосида аникланадиган параметр)

$$\frac{dm}{m} = \frac{d\rho}{\rho} - \lambda v_0 ds = -\lambda v_0 (1 + kT) R d\varphi$$

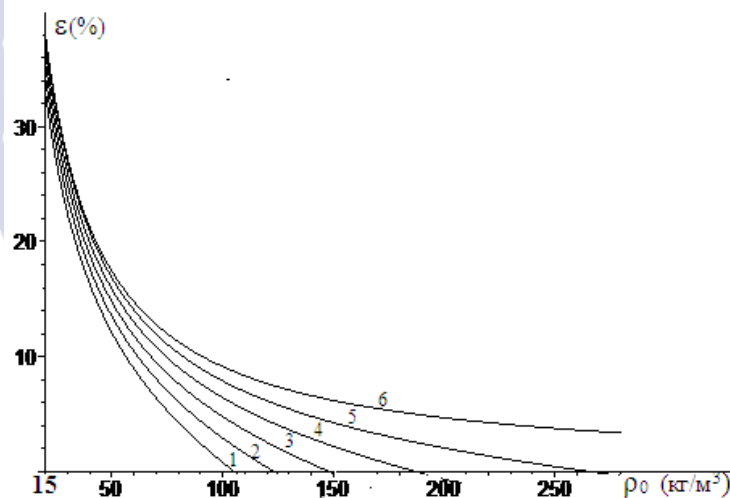
Бу ифодани $\rho(\varphi_0) = \rho_0$ шартида ингреграллаб, $m = \rho F_0$, $m_0 = \rho_0 F_0$ тенгликлардан фойдаланиб, лентанинг массасининг ёй бўйича камайиш микдорини аниклаймиз

$$m = m_0 \exp\left\{-\int_{\varphi_0}^{\varphi_1} \lambda v_0 R(1+kT)d\varphi\right\} \quad (9)$$

Ажралган ифлосликларнинг лентанинг бошланғич массасига нибатан ўзгариши (тозалаш самарадорлиги)

$$\varepsilon = \frac{m_0 - m}{m_0} = 1 - \exp\left\{-\int_{\varphi_0}^{\varphi_1} \lambda v_0 R(1+kT)d\varphi\right\} \quad (10)$$

(2-расм)да самарадорлик коэффициенти ε нинг хар хил n ларда бошланғич зичликка нисбатан ўзгариш графиклари келтирилган. 6- чизик коэффициентнинг лентадаги таранглик хисобга олинмагандаги графигини белгилайди



3-расм. Лентадан ажраладиган массанинг (тозалаш самарадорлиги % да) бошланғич зичликка нисбатан (тозалаш самарадорлигининг) хархил n ларда ўзгариш графиклари. $1-n=0$, $2-n=0.25$, $3-n=0.5$, $4-n=0.75$, $5-n=1$, $6-T=0$

Хулоса

Мавжуд пахта тозалаш ускуналари ускуналари тахлил қилиб чиқилди; Юқоридаги ўрганиб чиқилган тозалаш қурилмаларининг камчилик ва афзалликларини ҳисобга олган ҳолда вентилятор учун янги ҳаракатни узатиш тизими таклиф этилди. Таклиф этилган таминлагичнинг афзаллик томонлари

кўрсатиб берилди. Таклиф этилган таминлагичнинг схемаси ва ишлаш принципи ёритиб берилди.

Фойдаланилган адабиётлар рўйхати

1. Turg'unov, D., & Sarimsako, O. (2021). Theoretical Fundamentals of Cotton Transportation to Pnevmotransport Equipment. *International Journal of Human Computing Studies*, 3(2), 203-211.
2. Artikov, N. Y., & Kurbanbayev, S. J. (2021). Analysis And Optimization Of Product Costs And Expenses In Enterprises. *The American Journal of Management and Economics Innovations*, 3(01), 11-19.
3. ORIPOV, N. M. (2021). Theoretical study of the process of cleaning cotton before piling up. *Theoretical & applied science Учредители: Теоретическая и прикладная наука*, (10), 801-806.
4. Ubaydullaev, M., & Kurbanova, U. (2023). The influence of defoliants on the technological quality indicators and chemical composition of seed. *Science and innovation*, 2(D4), 26-30.
5. Ergashov, Y., Babayeva, M., & Akhmedov, A. (2023). New regenerator design for regeneration of raw cotton voles from non-ginned seeds. *Academia Science Repository*, 4(04), 32-35.
6. Ubaydullaev, M. M., & Komilov, J. N. (2022). Effect of defoliants for medium fiber cotton. *International Journal of Advance Scientific Research*, 2(05), 1-5.
7. Odiljonovich, T. Q. (2021). About automation of loading and unloading of cotton raw materials at cotton factory stations. *ACADEMICIA: An International Multidisciplinary Research Journal*, 11(10), 2068-2071.
8. Ubaydullaev, M. M., & Sultonov, S. T. (2022). Defoliation is an important measure. *European International Journal of Multidisciplinary Research and Management Studies*, 2(05), 44-48.
9. O'g'li, T. U. D. U., & Qizi, B. M. N. (2022). Verification of the values obtained based on the theoretical analysis of the working details of the crusher in the program “Solidworks”. *ACADEMICIA: An International Multidisciplinary Research Journal*, 12(10), 222-229.



10. Каримов, Н. М., Абдусаттаров, Б. К., Махмудова, Г., & Саримсаков, О. Ш. (2021). Пневматическая транспортировка хлопка-сырца на хлопковозаводах. In *Инновационные Подходы В Современной Науке* (pp. 61-70).
11. Ubaydullaev, M. M. (2020). The importance of sowing and handling of c-8290 and c-6775 seeds in the conditions of the meadow soils of the Fergana area. In *International conference on multidisciplinary research* (p. 11).
12. Mo'minovich, U. M. (2021). The Importance Of Planting And Processing Of Medium-Field Cotton Varieties Between Cotton Rows In Fergana Region. *The American Journal of Agriculture and Biomedical Engineering*, 3(09), 26-29.
13. Baxtiyorovna, N. B. (2022). Development of Structures of Double Patterned Weaves With Elements of Press Loops With A Geometric Pattern. *Eurasian Research Bulletin*, 14, 175-181.
14. Тешаев, Ф. Ж., & Убайдуллаев, М. М. (2020). Определение эффективных норм новых дефолиантов в условиях лугово-солончаковых почв Ферганской области при раскрытии коробочек 50-60% сортов хлопчатника с8290 и с6775. *Актуальные проблемы современной науки*, (5), 62-64.
15. Сидиков, А. Х., Махмудова, Г., Каримов, А. И., & Саримсаков, О. Ш. (2021). Изучение движения частиц хлопка и тяжёлых примесей в рабочей камере пневматического очистителя. *Universum: технические науки*, (2-2 (83)), 51-56.

Research Science and Innovation House